

### 3.2.5 (4.б). Свободные и вынужденные колебания в электрическом контуре.

Толстикова М.С.

Группа Б04-205

14 сентября 2023 г.

**Цель работы:** исследования свободных и вынужденных колебаний в колебательном контуре.

**В работе используются:** осциллограф АКТАКОМ ADS-6142Н, генератор сигналов специальной формы АКИП-3409/4, магазин сопротивления МСР-60, магазин ёмкости Р5025, магазин индуктивности Р567 типа МИСП, соединительная коробка с шунтирующей емкостью, соединительные одножильные и коаксиальные провода.

## 1. Теоритические сведения.

Рассмотрим электрический контур, состоящий из последовательно соединённых конденсатора  $C$ , катушки индуктивности  $L$  и резистора  $R$ . Обозначим разность потенциалов на конденсаторе  $U_C$ , а ток, текущий в контуре, через  $I$ . Второе правило Кирхгофа:

$$L \frac{d^2 I}{dt^2} + R \frac{dI}{dt} + \frac{I}{C} = 0. \quad (1)$$

Вводя обозначения  $\gamma = \frac{R}{2L}$ ,  $\omega_0^2 = \frac{1}{LC}$ , получим уравнение

$$\ddot{I} + 2\gamma \dot{I} + \omega_0^2 I = 0. \quad (2)$$

Его решение в общем виде:

$$I = -\frac{U_0}{L\kappa} e^{-\gamma t} \text{sh}(\kappa t), \quad (3)$$

где  $\kappa = \sqrt{\gamma^2 - \omega_0^2}$ ,  $U_0 = U_C$  – начальное напряжение на конденсаторе.

В случае, когда  $\gamma < \omega_0$ , имеем  $\kappa = i\omega$ , где  $\omega = \sqrt{\omega_0^2 - \gamma^2}$  – частоты свободных (собственных) колебаний. Тогда ток

$$I = -\frac{U_0}{L\omega} e^{-\gamma t} \sin(\omega t) \quad (4)$$

затухает и имеет колебательный характер. Величина  $\gamma$  определяет затухание колебаний:  $\gamma = \frac{1}{\tau}$ , где  $\tau$  – время затухание амплитуды в  $e$  раз.

Формулы для напряжения на конденсаторе и тока в цепи можно переписать иначе:

$$U_C = U_0 \frac{\omega_0}{\omega} e^{-\gamma t} \cos(\omega t - \theta),$$

$$I = -\frac{U_0}{L} e^{-\gamma t} \cos(\omega t - \theta). \quad (5)$$

В случае  $\gamma > \omega_0$ , формулы для тока и напряжения на конденсаторе имеют следующий вид:

$$I = -\frac{U_0}{L\kappa} e^{-\gamma t} \text{sh}(\kappa t),$$

$$U_C = U_0 e^{-\gamma t} \left( \frac{\gamma}{\kappa} \text{sh}(\kappa t) + \text{ch}(\kappa t) \right).$$

Процесс в этом случае не является колебательным, его называют апериодическим. Режим, соответствующий  $\gamma = \omega_0$ , называются *критическим*. В этом случае предельный переход  $\omega \rightarrow 0$  в (5) даст

$$I = -\frac{U_0}{L} t e^{-\gamma t},$$

$$U_C = U_0 e^{-\gamma t} (1 + \gamma t).$$

Сопротивление в этом случае

$$R_{\text{кр}} = 2\sqrt{\frac{L}{C}} \quad (6)$$

называется *критическим сопротивлением* контура.

*Добротность* контура по определению

$$Q = 2\pi \frac{W}{\Delta W},$$

где  $W$  – запасённая энергия,  $\Delta W$  – потери за период. Тогда

$$Q = 2\pi \frac{CU_0^2/2 \cdot e^{-2\gamma t}}{CU_0^2/2 \cdot (e^{-2\gamma t} - e^{-2\gamma(T+t)})} = \frac{\pi}{\gamma T} = \frac{1}{R} \sqrt{\frac{L}{C}}. \quad (7)$$

*Логарифмическим декрементом затухания* называются число

$$\Theta = \ln \frac{U_k}{U_{k+1}} = \ln e^{\gamma T} = \gamma T. \quad (8)$$

или

$$\Theta = \frac{1}{n} \ln \frac{U_k}{U_{k+n}}. \quad (9)$$

## 2. Экспериментальная установка.

Колебательный контур состоит из постоянной индуктивности  $L$  с активным сопротивлением  $RL$ , переменной емкости  $C$  и сопротивления  $R$ . Картина колебаний напряжения на емкости наблюдается на экране двухканального осциллографа. Для возбуждения затухающих колебаний используется генератор сигналов специальной формы. Сигнал с генератора поступает через конденсатор  $C_1$  на вход колебательного контура. Данная емкость необходима чтобы выходной импеданс генератора был много меньше импеданса колебательного контура и не влиял на процессы, проходящие в контуре.

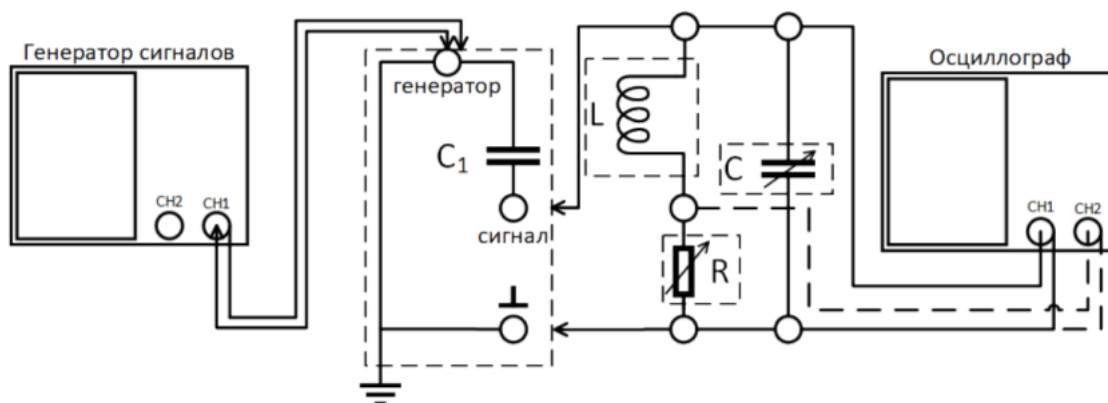


Рис. 1: Схема установки для исследования вынужденных колебаний

При изучении свободно затухающих колебаний генератор специальных сигналов на вход колебательного контура подает периодические короткие импульсы, которые заряжают конденсатор  $C$ . За время между последовательными импульсами происходит разрядка конденсатора через резистор и катушку индуктивности. Напряжение на конденсаторе  $U_C$  поступает на вход канала 1(X) электронного осциллографа. Для наблюдения фазовой картины затухающих колебаний на канал 2(Y) подается напряжение с резистора  $R$  (пунктирная линия на схеме установки), которое пропорционально току  $I$  ( $I \propto dU_C/dt$ ). При изучении возбужденных колебаний на вход колебательного контура подается синусоидальный сигнал. С помощью осциллографа возможно измерить зависимость амплитуды возбужденных колебаний в зависимости от частоты внешнего сигнала, из которого возможно определить добротность колебательного контура. Альтернативным способом расчета добротности контура является определение декремента затухания по картине установления возбужденных колебаний. В этом случае генератор сигналов используется для подачи цугов синусоидальной формы.

## 3. Ход работы

### 3.1. Измерение свободных колебаний.

Устанавливаем на магазине сопротивлений величину  $R = 0$  Ом, на магазине индуктивностей  $L = 100$  мГн (это значение остается постоянным), на магазине емкостей величину  $C = 0$  мкФ.

Найдем минимальное значение емкости контура  $C_0$ , благодаря которому в контуре реализуются свободные колебания. При этом затухание обеспечивается наличием активного

сопротивления в магазине индуктивностей  $R_L$ .

Период колебаний:  $T = 66,4$  мкс

$$C_0 = \frac{T^2}{4\pi^2 L} = 1 \text{ нФ}$$

C, мкФ	$T_{theor}$ , мкс	$T_{exp}$ , мкс
0,002	89	93
0,003	109	112
0,005	140	143
0,007	166	168
0,009	188	191
0,01	199	200

Таблица 1: Теоритически и экспериментально полученные значения периодов.

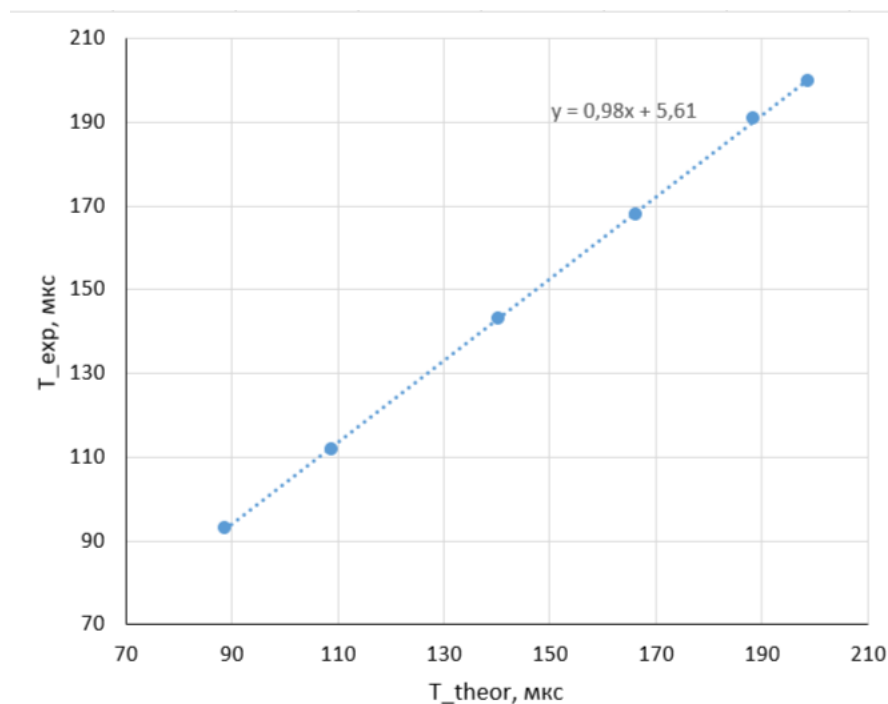


Рис. 2: График  $T_{exp} = f(T_{theor})$

### 3.2. Логарифмический декремент затухания и сопротивление контура.

$L = 100$  мГн, рассчитаем емкость  $C^*$  при которой собственная частота колебаний  $\nu_0 = \frac{1}{2\pi\sqrt{LC}}$  составляет 6.5 кГц.

$$R_{cr} = 2\sqrt{L/C^*} = 8 \text{ кОм}$$

В эксперименте получилось  $R_{cr} = 5,8$  кОм

$R/R_{cr}$	$R, \text{ Ом}$	$n$	$U_m, \text{ В}$	$U_{m+n}, \text{ В}$	$\Theta$
0,05	290	4	8,92	2,96	0,28
0,086	500	4	8,56	1,56	0,43
0,12	700	4	8,24	0,84	0,57
0,155	900	4	8	0,52	0,68
0,19	1100	3	7,8	0,6	0,85
0,22	1300	2	7,64	0,96	1,04
0,25	1450	2	7,32	0,8	1,11

Таблица 2: Расчет декремента затухания

$$\Theta_{min} = 0,28, Q = 11,21$$

$$\Theta_{max} = 1,11, Q = 2,83$$

$$1/\Theta^2 = X, 1/R_{\Sigma}^2 = Y$$

$$k = \Delta Y / \Delta X = (14,6 \pm 0,2) * 10^5$$

$$R_{cr} = 2\pi \sqrt{\Delta Y / \Delta X} = 7,59 \pm 0,05 \text{ Ом}$$

### 3.3. Декремент затухания на фазовой плоскости.

На фазовой плоскости:

1) При  $R_1 = 290 \text{ Ом}$

$$\Theta_1 = \frac{1}{n} \ln x_m / x_{m+n} = 0,29, Q_1 = \pi / \Theta = 10,83$$

2) При  $R_2 = 1450 \text{ Ом}$

$$\Theta_2 = \frac{1}{n} \ln x_m / x_{m+n} = 1,1, Q_2 = \pi / \Theta = 2,85$$

### 3.4. Теоритический расчет.

Рассчитаем добротность теоритически через  $R, L, C$ .

$$Q = \frac{1}{R} \sqrt{\frac{L}{C}}.$$

1) При  $R = 290 \text{ Ом}$

$$Q_1 = 12,01$$

2) При  $R = 1450 \text{ Ом}$

$$Q_2 = 2,72$$

### 3.5. Добротность через АЧХ.

$\nu_{res} = 6430 \text{ Гц}$ , при этом  $U_0 = 135 \text{ В}$ . Проводим измерения для  $R_1$  и  $R_2$ .

Для  $R_1$ :  $2\Delta\Omega = 0,09$ ,

$$Q_1 = \frac{\omega_0}{2\Delta\Omega} = 11,11$$

Для  $R_2$  мы не можем точно определить  $2\Delta\Omega$  по ширине резонансной кривой, поэтому оценим ее шириной кривой от точки на уровне  $1/\sqrt{2}$  до максимума, умноженной на 2.  
 $2\Delta\Omega = 0,15$ ,

$$Q_2 = 3,33$$

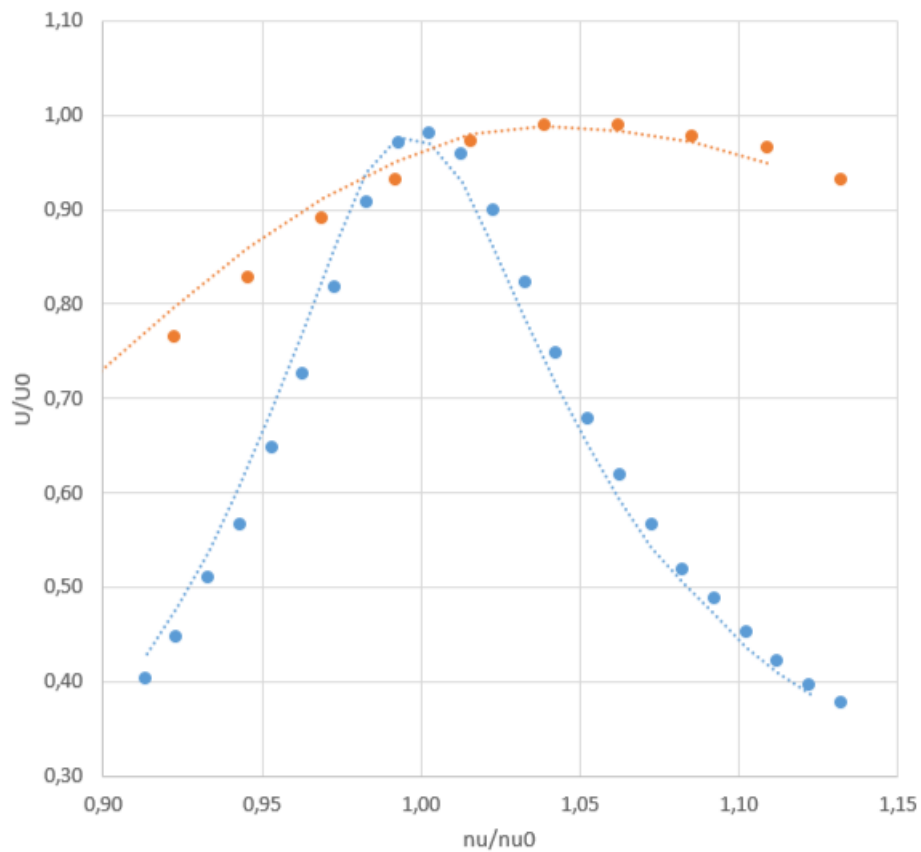


Рис. 3: График резонансных кривых

### 3.6. Добротность через ФЧХ.

Определим добротность контура по ФЧХ.

Для  $R_1$ :

По графику определяем  $\Delta\omega = 3700$  Ом,

$$Q_1 = \frac{\omega_0}{\Delta\omega} = 10,9$$

Для  $R_2$  не хватает данных, чтобы найти добротность через ФЧХ.

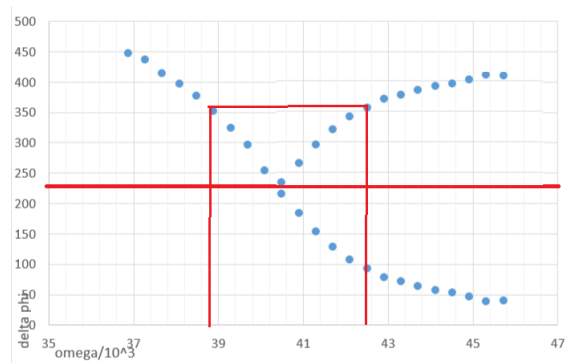


Рис. 4: ФЧХ для  $R_1$

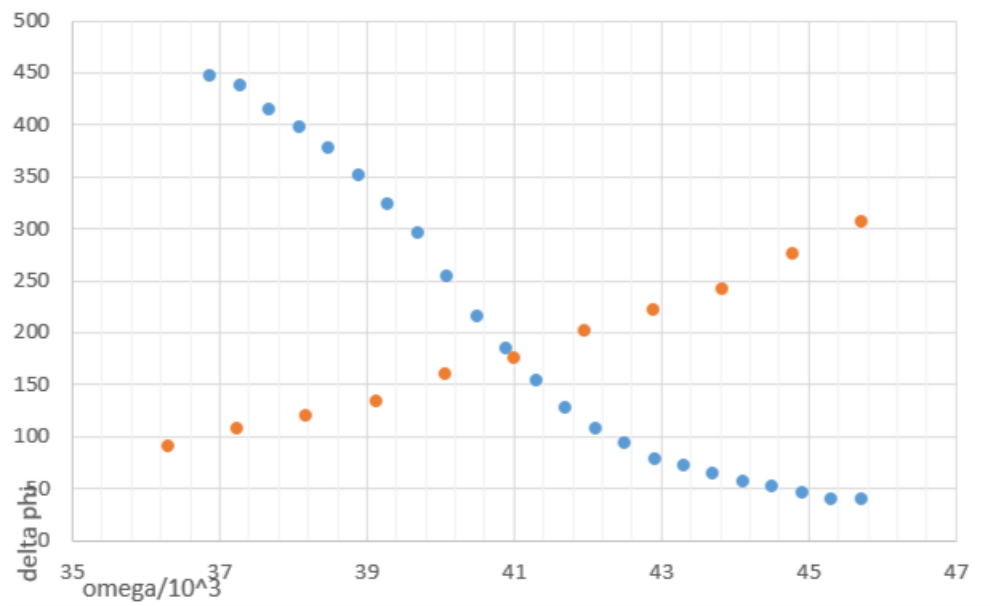


Рис. 5: ФЧХ для  $R_1$  и  $R_2$

### 3.7. Добротность по скорости нарастания и затухания колебаний.

Для  $R_1$ :  $U_0 = 256$  В

При нарастании амплитуды декремент затухания считаем по формуле:

$$\Theta = \frac{1}{n} \ln \frac{U_0 - U_k}{U_0 - U_{k+n}}$$

n	U_k	U_{k+n}	Theta
4	34	99	0,294
3	57	99	0,298
3	34	89	0,293
2	34	76	0,296
2	57	89	0,300

$$\Theta_1 = 0,296 \pm 0,006$$

$$Q_1 = 10,6 \pm 0,$$

При затухании амплитуды декремент затухания считаем по формуле:

$$\Theta_1 = \frac{1}{n} \ln \frac{U_k}{U_{k+n}}$$

n	U <sub>k</sub>	U <sub>k+m</sub>	Theta
4	94	30	0,286
3	94	40	0,285
3	71	30	0,287
2	71	40	0,287
2	94	53	0,287

$$\Theta_1 = 0,286 \pm 0,006$$

$$Q_1 = 11 \pm 0,2$$

Для  $R_2$ :  $U_0 = 33,7$  В

При нарастании:

$$\Theta_2 = \frac{1}{n} \ln \frac{U_0 - U_k}{U_0 - U_{k+n}} = \frac{1}{2} \ln \frac{33,7 - 8,8}{33,7 - 30,8} = 1,08 \pm 0,02$$

$$Q_2 = 2,9 \pm 0,1$$

При затухании:

$$\Theta_2 = \frac{1}{2} \ln \frac{31,4}{3} = 1,17 \pm 0,04$$

$$Q_2 = 2,7 \pm 0,1$$

## 4.Вывод

R	Свободные колебания			Вынужденные колебания			
	$f(L, C, R)$	$f(\Theta)$	Спираль	АЧХ	ФЧХ	Нарастание	Затухание
R1	$12 \pm 1$	$11,2 \pm 0,2$	$10 \pm 1$	$11 \pm 1$	$11 \pm 1$	$10,6 \pm 0,5$	$11 \pm 0,2$
R2	$2,7 \pm 0,2$	$2,83 \pm 0,06$	$2,9 \pm 0,3$	$3,3 \pm 0,4$		$2,9 \pm 0,1$	$2,7 \pm 0,1$

В пределах погрешностей все значения, кроме теоритических, совпадают. Самые точные методы измерения добротности -  $f(\Theta)$  в свободных колебаниях и нарастание и затухание в вынужденных.